

УДК 536.46.534.22.548.4

© 1992

**ПОЛИМОРФИЗМ НИТРАТОВ  
ОДНОВАЛЕНТНЫХ МЕТАЛЛОВ И АММОНИЯ  
ПО АКУСТИЧЕСКИМ ДАННЫМ.  
НИТРАТЫ НАТРИЯ И КАЛИЯ**

*B. H. Беломестных, Ал. А. Ботаки*

В интервале от 77 К до предплавления (575 К) на частотах 100—130 кГц методом составного пьезоэлектрического вибратора изучены полиморфные свойства нитратов натрия и калия. Установлены аномальные изменения скорости и затухания продольного ультразвука в окрестности известных точек фазовых переходов типа «порядок—беспорядок» в  $\text{NaNO}_3$  ( $T_c = -549$  К) и  $\text{KNO}_3$  ( $T_c = 402$  К) и некоторые особенности в акустических параметрах нитратов при других температурах. На примере  $\text{NaNO}_3$  впервые рассмотрена возможность представления изменений упругих модулей при структурных фазовых переходах в квазизотропных системах из соответствующих данных по константам упругости (податливости) монокристалла. В термоциклированных и амплитудно-зависимых экспериментах с кристаллами  $\text{KNO}_3$  показана связь эволюции акустических спектров и нелинейного поведения с гистерезисными явлениями и метастабильными состояниями.

При нормальных условиях в ряду одновалентных нитратов структура кристаллической решетки чувствительна к размерам катионов и замена натрия калием приводит к смене типа их низкотемпературных упорядоченных структур:  $\text{NaNO}_3\text{II}$  (пространственная группа  $R\bar{3}c$ , параметры элементарной ячейки  $a=6.33$  Å,  $\alpha=47^\circ15'$ , число молекул в элементарной ячейке 2) — тип кальцита,  $\text{KNO}_3\text{II}$  ( $Pnma$ ,  $a=5.44$  Å,  $b=9.19$  Å,  $c=6.46$  Å,  $z=4$ ) — тип арагонита (рис. 1) [1]. Псевдогексагональная орторомбическая структура арагонита предпочтительна для больших катионов и имеет координационное число для них 9 против 6 в ромбоэдрической решетке кальцита. В фазах II нитратов плоские группы  $\text{NO}_3$  в последовательных слоях имеют две кристаллографические ориентации, различающиеся поворотом на угол  $\pi$  по отношению друг к другу, и образуют упорядоченные подрешетки. Высокотемпературные разупорядоченные формы  $\text{NaNO}_3\text{I}$  и  $\text{KNO}_3\text{I}$  считаются подобными ( $R\bar{3}m$  с одной молекулой в элементарной ячейке) и возникают с повышением температуры при атмосферном давлении соответственно при  $T_c = -549$  и 402 К [1]. Исчезновение дальнего порядка в подрешетках нитрат-ионов выше  $T_c$  понимается как отсутствие всякого различия между группами  $\text{NO}_3$  — в любой из подрешеток каждая из групп может иметь одну из возможных ориентаций. При этом представляется, что в фазах I нитрат-ионы статистически разупорядочены по окружающим позициям как структуры типа арагонита, так и структуры типа кальцита. Соответствующие заселенности двух типов положений зависят от температуры кристаллов и составляют, например, для  $\text{NaNO}_3\text{I}$  при 563 К приблизительно 55 и 45 %, для  $\text{KNO}_3\text{I}$  при 415 К — 66 и 34 %.

Несмотря на подобие высокотемпературных форм нитратов натрия и калия, характер фазовых переходов (ФП) в них при указанных выше температурах

установлен разный. Переход  $\text{NaNO}_3\text{II} \rightarrow \text{NaNO}_3\text{I}$  является постепенным и считается типичным примером  $\lambda$ -перехода. Переход  $\text{KNO}_3\text{II} \rightarrow \text{KNO}_3\text{I}$  в значительной мере изотермичный, относится к ФП 1-го рода, но сопровождается относительно малым увеличением объема ( $\sim 0.7\%$ ) и может происходить в монокристалле без его разрушения [1]. Кроме этого, на кривой ДТА для нитрата калия наблюдались экзотермические эффекты при 381, 393 К, которые связывались с существованием в узком интервале температур третьей промежуточной модификации  $\text{KNO}_3\text{III}$ ; рентгенографически это подтвердить не удалось [2]. Однако метастабильную фазу  $\text{KNO}_3\text{III}$  можно получить охлаждением  $\text{KNO}_3\text{I}$  в отсутствие влаги [1]. Обычно она появляется при  $\sim 396$  К, а ФП  $\text{KNO}_3\text{III} \rightarrow \text{KNO}_3\text{II}$  происходит при температурах 388—378 К. При охлаждении в вакууме  $\text{KNO}_3\text{III}$

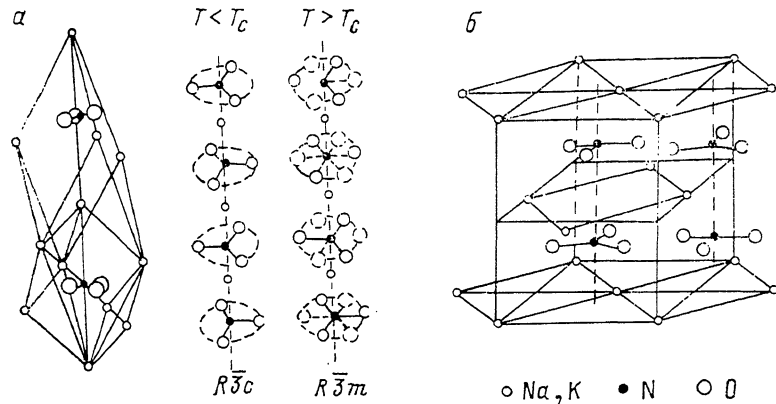


Рис. 1. Структура  $\text{NaNO}_3\text{II}$ ,  $\text{NaNO}_3\text{I}$  (а) и  $\text{KNO}_3\text{II}$  (б).

сохраняется до комнатной температуры и ниже. В связи с тем что  $\text{KNO}_3\text{III}$  является сегнетоэлектриком и используется в качестве переключающих приборов, элементов памяти и датчиков теплового излучения, к вопросам стабильности этой фазы в последнее время наметился повышенный интерес [3—5].

Имеются данные, свидетельствующие о структурной перестройке в нитратах натрия и калия и при низких температурах ( $T < 300$  К). Так, например, методом рентгеновской дифракции в  $\text{NaNO}_3$  обнаружен ФП с замедленной кинетикой в окрестности 268 К [6], а по изменению диэлектрической проницаемости предполагают ФП в  $\text{NaNO}_3$  при 243 К, в  $\text{KNO}_3$  при 213 К [7].

Высокотемпературный ФП в монокристалле  $\text{NaNO}_3$  акустическими методами изучался в работах [8, 9]. Было установлено [8], что в точке ФП среди постоянных податливости  $s_{11}$ ,  $s_{44}$ ,  $s_{12}$ ,  $s_{33}$  скачок испытывает только последняя (в [%] константа упругости  $c_{33}$ ). Теоретические расчеты показали [10], что при ФП 2-го рода в  $\text{NaNO}_3$  на температурных зависимостях  $s_{14}$  и  $s_{44}$  должен быть излом, а скачки остальных постоянных податливости в точке перехода составляют  $\Delta s_{11} = \Delta s_{12} \leqslant 0.01 s_{33}$ ,  $\Delta s_{13} \leqslant 0.1 s_{33}$ . Упругая анизотропия орторомбического монокристалла  $\text{KNO}_3$  при комнатной температуре изучалась в [11]. Были определены значения 9 констант упругости с соотношениями между ними, характерными для слоистых кристаллов. Упругие модули поликристаллов  $\text{NaNO}_3\text{II}$  и  $\text{KNO}_3\text{II}$  импульсным ультразвуковым методом установлены в [12], а температурные изменения скорости  $v$  и затухания (внутреннего трения  $Q^{-1}$ ) продольных упругих волн в поликристаллах  $\text{KNO}_3\text{II}$  и  $\text{KNO}_3\text{I}$  — резонансным методом в [13, 14].

Несмотря на определенный прогресс в изучении полиморфных свойств нитратов натрия и калия, многое в их фазовом поведении остается еще дискуссионным или противоречивым. В частности, высказывается мнение, что рентгенов-

ские измерения завышают симметрию их решетки [15]. Спектроскопические исследования (КРС, ИК [15-17]) предполагают наличие в нитратах двух типов неэквивалентных групп  $\text{NO}_3$ , один из которых не связан с упорядочением решетки. Незавершенными являются сведения по эволюции переходов  $\text{II} \rightarrow \text{I} \rightarrow \text{III} \rightarrow \text{II}$  или  $\text{II} \rightarrow \text{I} \rightarrow \text{III}$  при термоциклических процессах в нитрате калия. Особенность этого касается метастабильной фазы  $\text{KNO}_3\text{III}$ . Совершенно пока не прорабатывался вопрос в отношении полиморфизма и нелинейной акустики неорганических нитратов.

В настоящей работе представлены результаты изучения структурных и изоструктурных ФП в поликристаллах нитратов натрия и калия по акустическим данным в широком интервале температур. Для монокристаллов нитрата калия получены и анализируются высокотемпературный спектр  $v$  и  $Q^{-1}$ , а также амплитудные зависимости декремента затухания и дефекта модуля Юнга в трех его структурных формах.

## 1. Методика эксперимента

Температурный спектр скорости продольных волн  $v$  и внутреннего трения  $Q^{-1}$  в поликристаллах нитратов натрия и калия изучался резонансным методом двухсоставного пьезокварцевого вибратора на частоте 100 кГц в интервале 77–575 К. Образцы для исследований вырезались в виде стержней с поперечными размерами порядка  $2 \times 2$  мм из таблеток, спрессованных в вакууме с подогревом из предварительно диспергированных порошков нитратов марки хч. Максимальная плотность образцов достигла величины  $\rho = 2.19 \text{ г}/\text{см}^3$  в случае  $\text{NaNO}_3\text{II}$  и  $\rho = 2.05 \text{ г}/\text{см}^3$  в случае  $\text{KNO}_3\text{II}$ , что лишь незначительно ( $\sim 3\%$ ) меньше табличных значений плотности данных веществ [18]. Длина образцов подбиралась равной половине длины ультразвуковой волны на используемой частоте. Температурные спектры акустических параметров снимались в области амплитудно-независимого внутреннего трения при относительной амплитуде колебательной деформации  $\epsilon \approx 10^{-6}$ . Рабочий режим изменения температуры составлял 1 К/мин, вблизи точек ФП ( $T_c \pm 10 \text{ K}$ )  $\sim 0.1 \text{ К}/\text{мин}$ . Измерения выполнялись в вакууме  $\sim 10^{-2} \text{ мм рт. ст.}$ .

Монокристаллы нитрата калия выращивали методом испарения водного раствора при температуре 45 °C. При этом отдельные хорошо ограниченные призмы достигали размеров  $6 \times 8 \times 30$  мм. Образцы монокристаллов ориентировались параллельно длиной грани. При этом колебания распространялись в направлении, перпендикулярном плоскости треугольных анионов  $\text{NO}_3^-$ , что соответствует направлению наибольшего расширения кристалла [19]. Амплитудные зависимости дефекта модуля Юнга  $\Delta E/E$  и декремента  $\delta$  снимались для трех структурных форм нитрата калия соответственно при температурах 293, 413 и 393 К. При этом изменение модуля Юнга с ростом  $\gamma$  оценивали по сдвигу частоты вибратора по отношению к его частоте при амплитуде деформации  $5 \cdot 10^{-7}$ . Погрешность измерения относительных изменений скорости ультразвука не превышала 0.1 %, внутреннего трения  $\sim 5\%$ .

## 2. Результаты и их обсуждение

Полученные данные по акустическим свойствам нитратов натрия и калия целесообразно обсудить отдельно для каждого из веществ.

1) Нитрат натрия. Температурный спектр скорости продольных упругих волн и внутреннего трения в поликристалле  $\text{NaNO}_3$  представлен на рис. 2. Как и ожидалось, графики  $v(T)$  и  $Q^{-1}(T)$  содержат аномалии, характер которых сохраняет хорошую воспроизводимость от образца к образцу (на

примере исследований пяти образцов). При нагреве нитрата натрия на температурной зависимости скорости ультразвука последовательно регистрируются излом ( $T=425$  К), минимум ( $T=460$  К) и скачок ( $T\simeq 550$  К), сопровождающиеся максимумами затухания колебаний. Таким образом, переход к беспорядку в решетке исследуемого нитрата непрерывно растянут в интервале более 100° по совокупности наших измерений и имеющихся сведений по электро-, теплофизике, ИК-спектрам, КРС, ЯМР, ЯКР включает в себя разупорядочение

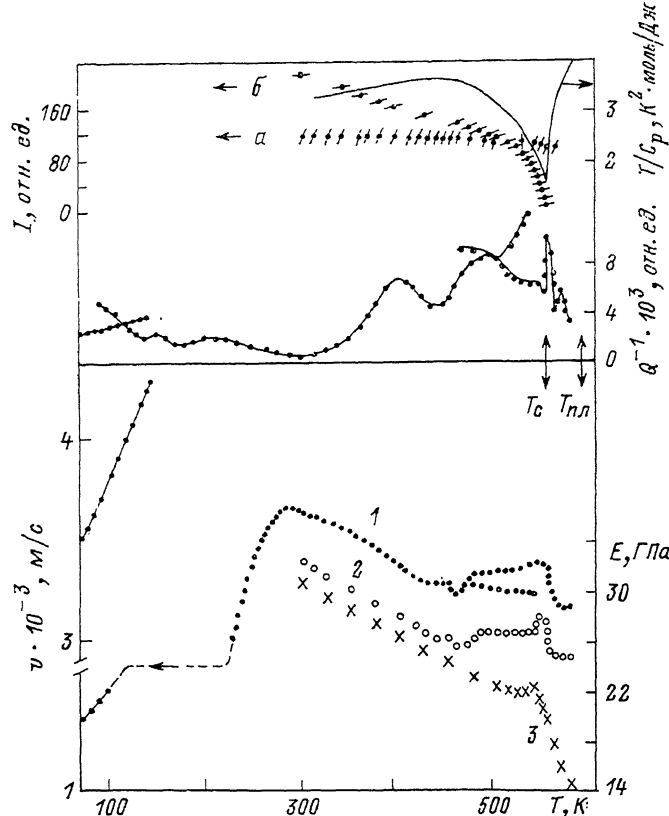


Рис. 2. Температурные изменения скорости и затухания ультразвука, модуля Юнга, интенсивностей основного (110) (а) и сверхструктурного (123) (б) рефлексов рассеяния рентгеновских лучей [23]. термического коэффициента устойчивости [24] в  $\text{NaN}_3$ .

1 —  $v$ , 2 —  $E$ , 3 —  $E_{\Phi\text{РХ}}$ .

катионной подрешетки, деформацию треугольных плоских ионов  $\text{NO}_3^-$  из-за эффекта Яна—Теллера и, наконец, разупорядочение анионной подрешетки в результате винтообразного движения  $\text{NO}_3$ -групп [1, 6, 7, 16, 17, 20].

Кроме названных, в высокотемпературном поведении акустических параметров  $\text{NaN}_3$  наблюдалась еще одна особенность: в интервале 470—535 К регистрировались два близких по частоте резонанса при фиксированной температуре, расчет по которым приводит к разным значениям скорости распространения упругих волн в данном веществе в указанном температурном интервале (рис. 2). Остановимся более подробно на этой особенности, которая, на наш взгляд, демонстрирует еще не вполне раскрытые возможности ультразвука как длинноволнового метода по сравнению с рассеянием рентгеновских лучей и нейтронов при исследовании ФП в пределах одной и той же кристаллической модификации вещества.

Раздвоение резонансной частоты вибратора в акустических экспериментах по изучению полиморфных свойств веществ впервые наблюдалось в окрестности структурного ФП в азиде цезия [21], для ряда ионных молекулярных кристаллов описано одним из авторов [14] и связывается с гетероструктурным метастабильным состоянием вещества. В данном случае такое состояние решетки  $\text{NaNO}_3$  может быть обусловлено существованием твердых фаз со структурами типа кальцита и арагонита и, следовательно, динамикой переориентаций  $\text{NO}_3^-$ -групп между четырьмя неэквивалентными их положениями. Интересно, что при этих же температурах выше 468 К, по данным КРС в  $\text{NaNO}_3$  [16], рядом с линией  $\nu_3 = 1385 \text{ cm}^{-1}$  в спектре внутренних колебаний аниона  $\text{NO}_3^-$  со стороны высокой частоты возникает второй диффузный максимум, а в экспериментах по рассеянию нейтронов вблизи  $T_c$  наблюдаются сдвиг частот и аномальная ширина линий [22]. Объяснение природы наблюдаемого в  $\text{NaNO}_3$  акустического расщепления требует специального исследования изменений  $v(T)$  и  $Q^{-1}(T)$  в окрестности  $T_c$ . Здесь же лишь отметим, что указанная выше температура раздвоения частоты вибратора совпадает с началом при нагреве нелинейной температурной зависимости интегральной интенсивности сверхструктурного рефлекса 123 ( $T=468 \text{ K}$ ), по данным рентгеновской дифрактометрии  $\text{NaNO}_3$  [23], и точкой перегиба на термическом коэффициенте устойчивости данного соединения [24] (рис. 2). Согласно [23], поведение решетки натрия в интервале от  $T=468 \text{ K}$  до  $T_c$ , т. е. как раз там, где мы регистрируем акустическое расщепление, можно описать с помощью двух связанных параметров порядка ( $\Theta \neq 0, P \neq 0$ ), один из которых ( $\Theta$ ) характеризует разупорядочение группы  $\text{NO}_3^-$ , а другой ( $P$ ) — спонтанную деформацию несимметричной фазы  $\text{NaNO}_3\text{II}$ .

Измеренная скорость звука в «стержне» позволяет при известной плотности образца  $\rho$  найти модуль Юнга

$$E = \rho v^2. \quad (1)$$

С другой стороны, средние значения этого модуля можно вычислить из данных по упругим свойствам монокристалла. Нами выполнен такой расчет по методу Фохт—Ройс—Хилла для кристаллов тригональной симметрии [25]

$$E = \frac{9B_{\Phi\text{PX}}G_{\Phi\text{PX}}}{3B_{\Phi\text{PX}} + G_{\Phi\text{PX}}}, \quad (2)$$

где

$$B_{\Phi\text{PX}} = \frac{1}{2}(B_\Phi + B_P), \quad G_{\Phi\text{PX}} = \frac{1}{2}(G_\Phi + G_P),$$

$$B_\Phi = \frac{1}{9}(2c_{11} + c_{33} + 4c_{13} + 2c_{12}),$$

$$B_P^{-1} = 2s_{11} + s_{33} + 2s_{12} + 4s_{13},$$

$$G_\Phi = \frac{1}{30}(7c_{11} + 2c_{33} - 5c_{12} - 4c_{13} + 12c_{44}),$$

$$G_P^{-1} = \frac{2}{15}(7s_{11} + 2s_{33} + 3s_{44} - 5s_{12} - 4s_{13}).$$

Необходимые для этого сведения по всем независимым  $c_{ij}(T)$  и  $s_{ij}(T)$  монокристалла  $\text{NaNO}_3$  для  $T \geq 300 \text{ K}$  взяты из [8, 9, 26]. Между поведением  $E(T)$  и  $E_{\Phi\text{PX}}(T)$  установлено качественное согласие (рис. 2; при вычислении модуля значение  $v$  экстраполировали на результат для образца с нулевой пористостью, в области расщепления использовалось среднее значение  $v$ ), однако с разной степенью критического изменения модуля Юнга непосредственно вблизи  $T_c$  (из данных монокристалла предпереход значительно уже, хотя минимум вблизи

$T_c$  сохраняется). Возможно, что в случае поликристалла  $\text{NaNO}_3$  более развитые акустические аномалии связаны с дисперсным кристаллитным состоянием образца. Попутно заметим, что сравнительно надежное прогнозирование термоупругого поведения микронеоднородных материалов (типа спрессованных из порошка образцов) при известной упругой анизотропии кристаллитов prawo-мерно для условий, когда сохраняется вполне определенная кристаллическая модификация вещества. В случае же структурной перестройки предположения об однородной деформации или напряжении по всему объему тела, как принято в методе ФРХ, не очевидны. Детальная проработка настоящего вопроса, вероятно, отсутствует.

При низких температурах ( $T < 300$  К) наши данные также подтверждают наличие ФП в  $\text{NaNO}_3$ . При охлаждении нитрата инверсия знака  $dv/dT$  происходит вблизи 280 К и далее, вплоть до температуры жидкого азота, наблюдается смягчение решетки. При этом в окрестности  $T \approx 140$  К регистрируется раздвоение резонансной частоты вибратора, близкое в начальный момент к удвоению. Возможной причиной ФП в этом случае считают вращение  $\text{NO}_3$ -групп вокруг оси  $a_2$  [6], так что дополнительные атомы кислорода оказываются в плоскостях 104. Метастабильное же состояние анионной подрешетки, вероятно, связано с замораживанием таких движений  $\text{NO}_3^-$ , а термодинамическое равновесие в нашем эксперименте заведомо не достигалось, так как для этого в области ФП изменение температуры на 5° требует не менее 24 ч [6].

2) Нитрат калия. Поскольку при нагревании и охлаждении данного нитрата регистрируется разное число ФП, то термоциклирование играет принципиальную роль при изучении фазовой стабильности этого вещества. На рис. 3 приведены изменения  $v$  и  $Q^{-1}$  поликристалла  $\text{KNO}_3$  в режимах нагрев—охлаждение для  $T > 300$  К и охлаждение—нагрев для  $T < 300$  К. Высокотемпературные ФП II  $\rightarrow$  I ( $T_c^2, 1 \approx 400$  К) и III  $\leftarrow$  I ( $T_c^1, 3 \approx 370$  К) сопровождаются скачками на зависимостях  $v(T)$  в виде «ступенек», а аномалия  $Q^{-1}(T)$  при этом имеет характер раздвоенного максимума с меньшими по величине пиками со стороны предперехода. Наличие пиков  $Q^{-1}$  — предшественников основному, наблюдаемому в точке ФП, в точности совпадающих с температурами переходов уже в обратном направлении изменения температуры, — пока не совсем понятно. Возможно, что это проявление того необычного термодинамического пути, который рассматривается в теории ФП, описываемых двумя параметрами порядка [27]. Как видно из рис. 3, упорядоченная метастабильная фаза  $\text{KNO}_3$  II и частично упорядоченная метастабильная фаза  $\text{KNO}_3$  III отличаются не только самой величиной скорости звука, но и характером ее температурной зависимости.

Низкотемпературное термоциклирование  $\text{KNO}_3$  II ( $T < 300$  К) обнаруживает более развитую по сравнению с  $\text{NaNO}_3$  II картину акустического расщепления, что в принципе следовало ожидать, так как именно на нитрат калия приходится смена типа решетки кальцит—арagonит в ряду нитратов щелочных металлов. При этом в режиме понижения температуры начало раздвоения резонансной частоты вибратора с нитратом калия в фазе II происходит при 260 К, а в фазе III — при 300 К.

Представляет интерес сопоставить температурные изменения акустических параметров  $\text{KNO}_3$  с поведением некоторых других его характеристик. С этой целью на рис. 3 приведены взятые из [7] результаты термоциклирования в окрестности ФП  $\text{KNO}_3$  II  $\rightarrow$   $\text{KNO}_3$  I,  $\text{KNO}_3$  I  $\rightarrow$   $\text{KNO}_3$  III низкочастотной ( $f=1$  кГц) диэлектрической проницаемости  $\epsilon$  поликристалла нитрата калия, полученного из расплава этой соли. Как видно из рис. 2, области аномальных изменений  $\epsilon(T)$ ,  $v(T)$  и  $Q^{-1}(T)$  в целом совпадают.

Выше для нитрата натрия (рис. 2) показана корреляция особенностей температурного спектра его акустических параметров и термического коэффициента устойчивости. Имеющиеся данные по теплоемкости  $\text{KNO}_3$  в области низ-

ких [28] и высоких [29] температур позволяют построить зависимость  $T/C_p(T)$  для этого вещества (рис. 3;  $C_p$  получена в указанных работах только в режиме нагрева). Видно, что термический коэффициент устойчивости нитрата калия фактически имеет только одну явно выраженную особенность — глубокий минимум при переходе  $\text{KNO}_3\text{II} \rightarrow \text{KNO}_3\text{I}$ . Другие же аномалии  $v$  нитрата калия в большей мере находят отражение в его транспортной характеристике — тепло-

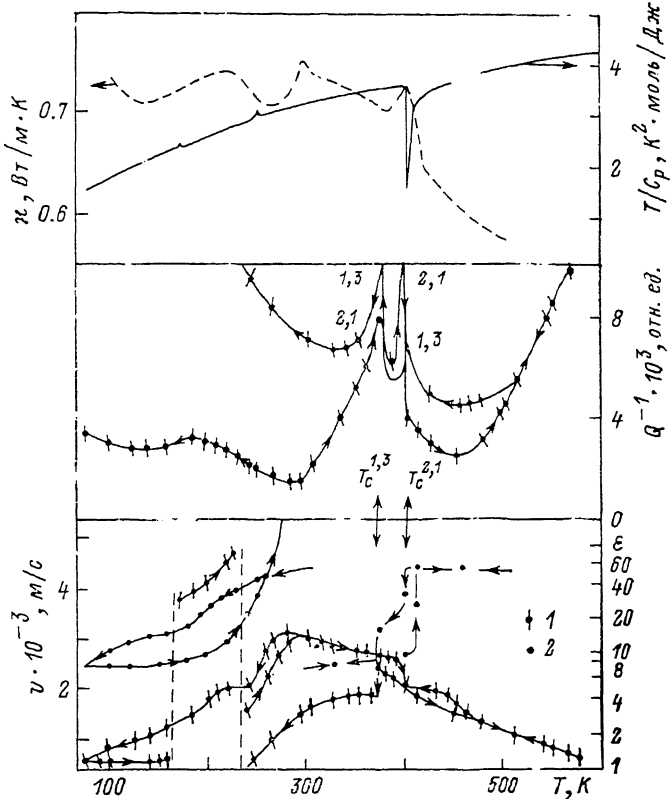


Рис. 3. Температурные изменения скорости и затухания ультразвука, теплопроводности, термического коэффициента устойчивости и диэлектрической проницаемости [7] в поликристалле  $\text{KNO}_3$ .

1, 2 — значения  $v$  по раздвоенным частотам резонанса. Направления изменения температуры указаны стрелками.

проводности, измерения коэффициента  $\alpha$  которой, как известно, могут служить косвенным доказательством данных по скорости звука в диэлектриках [30]

$$\alpha = \frac{1}{3} \lambda C \bar{v}, \quad (3)$$

где  $\lambda$  — средняя длина свободного пробега фононов,  $C$  — теплоемкость на единицу объема,  $\bar{v}$  — средняя скорость звука в модели твердого тела по Дебаю. Нами проведены измерения  $\alpha$  на приборе ИТ-λ-400 в образцах поликристалла  $\text{KNO}_3$ , изготовленных по той же технологии, что и для акустических измерений. Минимумы на зависимости  $\alpha(T)$  нитрата калия (рис. 3) совпадают с нерегулярным поведением  $v(T)$  данного вещества и, на наш взгляд, дополнительное свидетельствуют о корректности полученных акустических данных.

На рис. 4 приведены температурные изменения скорости и затухания упругих колебаний в трех образцах монокристаллов  $\text{KNO}_3$  для  $T \geq 293$  К с одинаковой скоростью изменения температуры для всех образцов в окрестности ФП и разной за его пределами: для образца 3 рабочий режим 1 К/мин, для образцов 1 и 2 — в два раза меньше (0.5 К/мин). Основные особенности в поведении  $v$  и  $Q^{-1}$  при термоциклировании монокристаллов  $\text{KNO}_3$  сводятся к следующему. В фазе II нитрата результаты для трех образцов в пределах разброса идентичны,

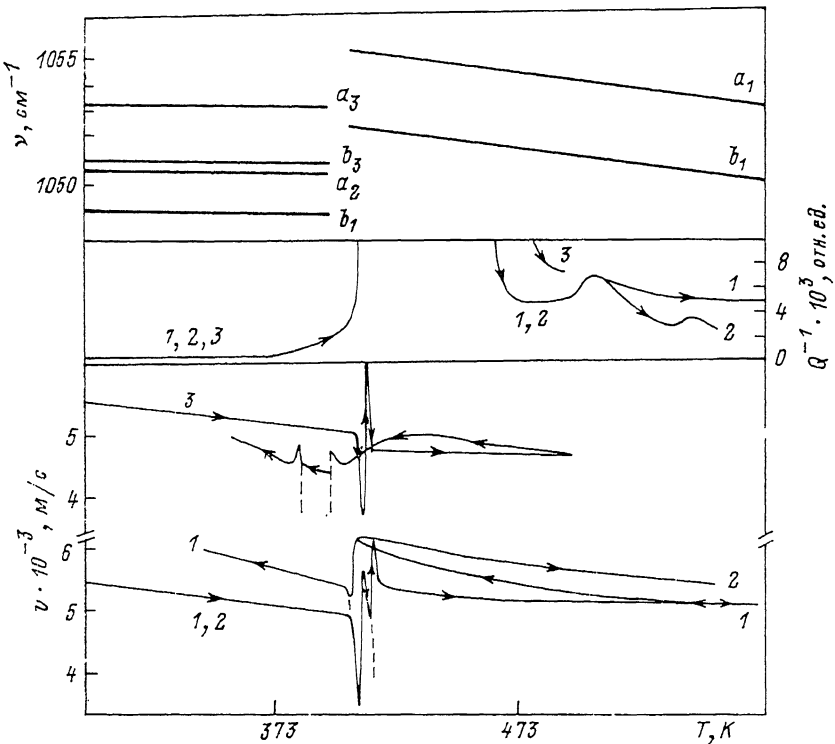


Рис. 4. Температурные изменения скорости и затухания ультразвука, положений пиков аномального дублета в спектре КРС [15] монокристалла  $\text{KNO}_3$ .

1, 2, 3 — номера образцов;  $a, b$  — пики дублета.

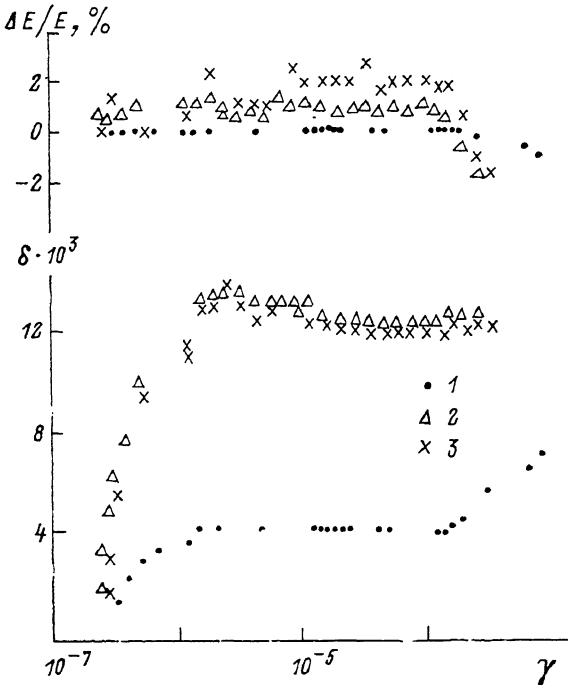
в фазе I существенно различны: скорость  $v_I$  может быть как больше, так и меньше  $v_{II}$ ; на высокотемпературной ветви максимума  $Q^{-1}$  наблюдается разное число сателлитов. На наш взгляд, эти данные являются отражением разной степени беспорядка в анионной подрешетке  $\text{KNO}_3\text{I}$  от образца к образцу, вызванной в условиях данного эксперимента неодинаковой скоростью нагрева образцов 1—3.

Как было показано в серии работ по исследованию механизма полиморфных превращений в нитрате калия оптическим методом [31], деформации и напряжения, образовавшиеся в результате изменения температуры кристалла и при ФП, через процессы релаксации и рекристаллизации существенно регулируют рост новой фазы при превращении. При «отдыхе» кристалла в условиях  $T > T_c$  восстановительная роль указанных процессов тем полнее, чем продолжительнее время «отдыха». С этой точки зрения в образцах 1 и 2 нитрата калия сравнимые уровни механических напряжений в фазе  $\text{KNO}_3\text{II}$  и время пребывания в фазе  $\text{KNO}_3\text{I}$  приводят к сходному виду температурных спектров акустических параметров (для образца 2 изменения  $v$  при охлаждении не показаны на рис. 4 только

из соображений усложнения графика). Другие же, более «жесткие» условия эксперимента для образца 3 приводят к принципиально отличному виду изменения  $v(T)$  при его термоциклировании. Эти отличия, кроме названных, непосредственно затрагивают окрестность ФП. При прямом ходе (нагревании) на зависимости  $v(T)$  для образцов 1 и 2 регистрируются два близко расположенных минимума при температурах 406 и 412 К, для образца 3 — только при 406 К. При обратном ходе (охлаждении), наоборот,  $v(T)$  имеет один минимум (401 К) для образцов 1 и 2, а для образца 3 — два (при 396 и 381 К). Так как аномалии  $v(T)$  в обратном ходе термоцикла соответствуют приведенным выше известным структурным состояниям нитрата калия, можно предположить, что и обнаруженные нами два последовательных минимума  $v(T)$  при относительно медленном нагреве этого вещества указывают на возможность существования промежуточной фазы нитрата в интервале 406—412 К между общепринятыми фазами II и I. Наличие аномального дублета в спектре КРС из области симметричных валентных колебаний группы  $\text{NO}_3$  в нитрате калия (рис. 4) и в связи с этим предположения о двух близких

Рис. 5. Амплитудные зависимости декремента и дефекта модуля Юнга нитрата калия.

$T, \text{K}$ : 1 — 293, 2 — 413, 3 — 393.



неэквивалентных типах анионов [15] могут быть также увязаны с нашими данными, но уже в представлении о последовательности ФП порядок—беспорядок для этих двух  $\text{NO}_3$ -групп. Таким образом, акустические эксперименты показали, что структурная перестройка в нитрате калия сложнее, чем считается в литературе, весьма чувствительна к внешним возбуждениям; решетка этого соединения склонна к метастабильным состояниям.

Последнее обстоятельство должно приводить к широкому спектру времен релаксации уже при низких величинах деформации твердого нитрата и проявляться в амплитудной зависимости внутреннего трения. Для выяснения этого вопроса нами выполнены эксперименты по влиянию амплитуды колебательной деформации  $\gamma$  на упругие и неупругие свойства трех структурных форм  $\text{KNO}_3$  (рис. 5; представлены результаты для образца 1, аналогичные данные получены для образцов 2 и 3).

Для  $\text{KNO}_3$  II (кривая 1 на рис. 5) график  $\delta = f(\gamma)$  содержит одну амплитудно-независимую область (от  $\gamma = 10^{-6}$  до  $\gamma = 10^{-4}$ ) и две амплитудно-зависимые ( $\varepsilon < 10^{-6}$  и  $\varepsilon > 10^{-4}$ ). При этом дефект модуля Юнга становится заметным только при  $\gamma > 10^{-4}$ . Поведение  $\gamma$  и  $\Delta E/E$  в  $\text{KNO}_3$  II при амплитудах деформации  $\gamma \geq 10^{-6}$  в целом согласуется с представлениями о микропластичности, связанной с протяженными дефектами (дислокациями и межзеренными границами) [32]. Изменения же  $\gamma$  при микродеформации ( $\gamma < 10^{-6}$ ) пока не совсем понятны. Возможно, природа этой неупругости связана с переходами дислокаций

ционных сегментов между метастабильными состояниями аналогично наблюдаемой неупругости при малых деформациях в металлах, когда неупругое поведение обнаружено на уровне разрешения по деформации  $\Delta\gamma \sim 10^{-9}$  [33].

### Список литературы

- [1] Парсонидж Н., Стейвли Л. Беспорядок в кристаллах: Пер. с англ. М., 1982. Ч. I. 434 с.
- [2] Amigó José M. A. // Acta Geol. Hisp. 1970. V. 5. N 2. P. 33—35.
- [3] Schäfer W. J., Mikkola D. E. // J. Appl. Phys. 1988. V. 64. N 5. P. 2563—2570.
- [4] Scott J. F., Pouliquen B., Dummler K. et al. // J. Appl. Phys. 1987. V. 62. N 11. P. 4510—4513.
- [5] Wyncke B., Brehat F. // Phys. Status Sol. 1987. V. A 104. N 2. P. 873—877.
- [6] Johnson E. R., Frances A., Wu C. Cm. // J. Appl. Phys. 1976. V. 47. N 5. P. 1827—1828.
- [7] Fermor J. H., Kjekshus A. // Acta Chem. Scand. 1973. V. 27. N 3. P. 915—923; N 6. P. 2254—2256.
- [8] Корнфельд М. И., Чудинов А. А. // ЖЭТФ. 1957. Т. 33. № 1 (7). С. 33—36.
- [9] Craft W. L., Eckhardt R., Slutsky L. I. // J. Phys. Soc. Japan. 1969. V. 26. Suppl. P. 184—186.
- [10] Дзялошинский И. Е., Либштадт Е. М. // ЖЭТФ. 1957. Т. 33. № 1 (7). С. 299—301.
- [11] Michard F., Plicque F. // C. R. Acad. Sc. Paris. Serie B. 1971. V. 272. P. 848—850.
- [12] Беломестных В. Н., Сухушин Ю. Н. // Изв. вузов, физика. 1974. № 1. С. 70—72.
- [13] Беломестных В. Н., Ботаки А. А. // Деп. в ВИНИТИ. 1981. № Р-1784/81.
- [14] Беломестных В. Н. // Письма в ЖЭТФ. 1990. Т. 51. № 10. С. 526—529.
- [15] Brooker M. H. // J. Phys. Chem. Sol. 1978. V. 39. N 6. P. 657—667.
- [16] Числер Э. В. // ФТТ. 1969. Т. 11. № 5. С. 1272—1281.
- [17] Карпов С. В., Шулгин А. А. // ФТТ. 1975. Т. 17. № 10. С. 2868—2872.
- [18] Справочник химика. Т. 2. 3-е изд. / Под ред. Б. П. Никольского. Л.: Химия, 1971.
- [19] Lonappan M. A. // Proc. Indian Acad. Sci. 1955. V. A41. N 6. P. 239—244.
- [20] Spencer P., Hughes D. G. // Magn. Reson. 1980. V. 38. N 1. P. 1—8.
- [21] Беломестных В. Н., Ботаки А. А. // ФТТ. 1976. Т. 18. № 1. С. 313—315.
- [22] Lefevre I., Currat R., Fouret R., More M. // J. Phys. C: Solid State Phys. 1980. V. 13. N 24. P. 4449—4461.
- [23] Schmahe W. W., Salje E. // Phys. Chem. Miner. 1989. V. 16. N 8. P. 790—798.
- [24] Семенченко В. К., Аль-Хаят Б. Х. // ЖФХ. 1968. Т. 42. № 10. С. 2634—2636.
- [25] Кучин В. А., Ульянов В. Л. Упругие и неупругие свойства кристаллов. М., 1986. 134 с.
- [26] Hearmon R. F. S. // Phys. Stat. Sol. (a). 1971. V. 5. N 3. P. K183—K186.
- [27] Гуфан Ю. М., Ларин Е. С. // ФТТ. 1980. Т. 22. № 2. С. 463—471.
- [28] Беломестных В. Н., Гринева М. Н., Толмачева Н. Д., Шаров С. Р. // Деп. в ВИНИТИ. 1982. № Р-1395/82.
- [29] Шмидт Н. Е., Максимов Д. Н. // ЖФХ. 1979. Т. 53. № 7. С. 1895—1899.
- [30] Киттель Ч. Введение в физику твердого тела: Пер. с англ. М., 1957. 523 с.
- [31] Асадов Ю. Г., Насиров Б. И. // ДАН СССР. 1970. Т. 191. С. 1280—1281; Кристаллография. 1972. Т. 17. № 5. С. 991—994.
- [32] Старцев В. И., Ильин В. Я., Пустовалов В. В. Пластичность и прочность металлов и сплавов при низких температурах. М., 1975. 328 с.
- [33] Биленко И. А., Митрофанов В. П., Охрименко О. А. // Письма в ЖЭТФ. 1990. Т. 51. № 10. С. 532—535.

Томский политехнический институт  
им. С. М. Кирова

Поступило в Редакцию  
12 февраля 1991 г.  
В окончательной редакции  
4 сентября 1991 г.